

1. まえがき 硬度(硬さ)は、その材料が他の硬質物質(圧子)により強制変形を与えられたときに呈する抵抗の大小を表わすことから、材料に関する引張強さなどの静的特性向に種々の相関関係があると考えられる。¹⁾ 事実、Vickers 硬さ、Brinell 硬さ、Rockwell 硬さの大きさと材料の引張強さとの間には密接な関係があることはよく知られている。また、低サイクル疲労領域における金属材料の疲労強度が、材料の静的特性と強い相関を有することは報告されており、²⁾ 硬さの測定値と材料の静的特性との関係を明らかにしておけば、硬さ試験が比較的容易な実験手法であることから、構造物における低サイクル疲労特性を把握する場合に益するところが大きいと考えられる。本研究は、Meyer に於て提唱された Meyer 硬さの考えを用いて材料の各種静的特性との関係を導くとともに、Meyer 硬さに関する法則がひずみ履歴を受けた後に成り立つことを確認し、ひずみ履歴を受けた低サイクル疲労領域にまで拡張し得ることを可能性を証明せんとするものである。

2. Meyer 硬さと材料の静的特性との関係 二 = 二、本研究の基礎となる Meyer の法則を簡単に紹介し、これから導かれる Meyer 硬さと静的特性との関係を示す。直径 D なる球形圧子を用いて試料に直径 d なる圧痕をつけて硬さを測ったとき、加えた荷重 W を圧痕の受圧面積 $\{\pi D(D - \sqrt{D^2 - d^2})\}/2$ で除した平均圧力 P_m は、一般に良く用いられる Brinell 硬さを表わすか、ひま加えた荷重 W を圧痕の投影面積 $\pi d^2/4$ で除したときの平均圧力 P_m を Meyer 硬さと呼ぶ。すなわち、

$$P_m = 4W/\pi d^2 \quad \text{----- (1)}$$
 一般に、ほとんどの金属の降伏応力は、近似的に歪形または歪の簡単なべき乗関数で式(2)の如く表わされる。(Nadai)³⁾

$$\sigma = m \cdot \epsilon^n \quad \text{----- (2)}$$
 (指数 n は加工硬化指数と対応する。) くぼみ端の変形 ϵ_E は直接 d/D に比例するものと近似出来るが一般性をもたせると、式(3)となる。

$$\epsilon_E = \alpha (d/D)^{n+1} \quad \text{----- (3)}$$
 二 = 二、 α は定数。式(2),(3)から、くぼみ端の代表的応力は、

$$\sigma_E = m \cdot \epsilon_E^n = m \cdot \alpha^n (d/D)^{n(n+1)} \quad \text{----- (4)}$$
 平均圧力 P_m が σ_E に比例すると仮定すれば、

$$P_m = \hat{m} \cdot \sigma_E \quad \text{----- (5)}$$
 二 = 二、 \hat{m} は材料定数で、理想塑性体に対しては平面応力を受ける板に $\hat{m} = 3.0$ (Von Mises の理論) 又は、 $\hat{m} = 2.6$ (最大剪断理論) であることが示されており、鋼材ではほぼ $m = 2.8$ ととてよい。式(1),(4),(5)から、

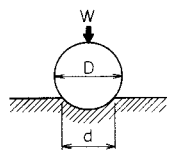


図1. 球形圧痕の径

$$W = \frac{\pi k}{4} \cdot \frac{d^x}{D^{x-2}} \quad \text{----- (6)} \quad \text{二 = 二、} \quad k = m \cdot \hat{m} \cdot \alpha^n \quad \text{二 = 二、} \quad x = n \cdot (n+1) + 2$$

異なる直径 D_1, D_2, D_3, \dots の球形圧子に対しては、

$$W = k_1 \cdot d^x = k_2 \cdot d^x = k_3 \cdot d^x \quad \text{----- (7)} \quad \text{二 = 二、}$$

$$k_1 \cdot D_1^{x-2} = k_2 \cdot D_2^{x-2} = k_3 \cdot D_3^{x-2} = \dots = \frac{W}{d^x} \quad \text{----- (8)}$$
 を整理する。式(8)を表わされる関係が Meyer の法則で、式(6)を用いた指数 x は Meyer 指数と呼ばれる材料定数である。また、式(3)において指数 n は鋼材では 1 とおき、 $x = n + 2$ ----- (9)。すなわち、Meyer 指数 x は加工硬化指数 n に 2 を加えた値にほぼ等しくなる。さらに、くぼみ端の変形 ϵ_E と引張・圧縮試験時の真歪 ϵ_t との相関関係が、Tabor⁴⁾ によって明らかにされており、

$$\epsilon_E = \epsilon_E/d \approx 0.2 \left(\frac{d}{D}\right) = \epsilon_t \quad \text{----- (9)}$$
 とおける。 ϵ_t は、硬さの測定値から得られ、歪に対応がある量という意味から、硬さ歪と呼ばれる。 P_m と真応力の間に式(5)と同様の関係が成り立ち、

$$P_m = \hat{m} \cdot \sigma_t = k \cdot \left(\frac{d}{D}\right)^n = k \cdot (5 \cdot \epsilon_t)^n \quad \text{----- (10)}$$
 すなわち、Meyer 硬さ P_m と圧子直径 d との関係を両対数グラフ上にプロットすれば、真歪 ϵ_t と真応力の \hat{m} (約 2.8) 倍との関係をそのまゝ表わすことになり、この傾きは、加工硬化指数を示すことが判る。次に、二の Meyer 硬さの測定値から、他の静的特性が推定出来ることを示す。

真応力 $\hat{\sigma}_t$ と公称応力 $\hat{\sigma}_n$ は、O'Brien の関係式を用いて、

$$\hat{\sigma}_n = \hat{\sigma}_t / (1 + \epsilon_t) \quad \text{----- (11) と表わされる。}$$

公称応力の最大値が引張強度を表わすから、式(11)において $\hat{\sigma}_n$ の極値を与える真歪 ϵ_t を求めると、引張強度 $\hat{\sigma}_u$ を与える真歪 ϵ_{u0} は、

$$\epsilon_{u0} = n / (1 - n) \quad \text{----- (12)}$$

n とし、引張強度は、

$$\hat{\sigma}_u = \frac{P_m}{A_n} (1 - n) \quad \hat{A}_n \approx 2.3 \quad \text{----- (13) から求まる。}$$

また、加工硬化指数 n 、引張試験における最高荷重点における真歪 ϵ_{u0} および静破壊延性 ϵ_f との間には、

$$n = \frac{\ln(1 + \epsilon_f)}{\ln(\epsilon_f / \epsilon_{u0})} \quad \text{----- (14)}$$

なる関係が導かれるから、

静破壊延性は、 $\log P_m - \log \epsilon_n$ 線図の傾き(加工硬化指数) n のみによって、

$$\epsilon_f = \exp \left\{ \frac{n}{n - \left(\frac{n}{1-n} \right)^n} \right\} \quad \text{----- (15) と表わしうる。}$$

3. 実験 本報では、先ず式(10)で示される関係を確認するため、土留工における切取材にアプレードを与えるスワリュー型油圧ジャッキのピストン杖およびシリニダー杖について、Binnel 硬度計を用いて 10^{mm} 、 5^{mm} の鋼球圧入を種々の荷重(500g~2750g)で供試杖に圧入し、Meyer 硬さ P_m と硬さ ϵ_n との相関関係を求めた。図2

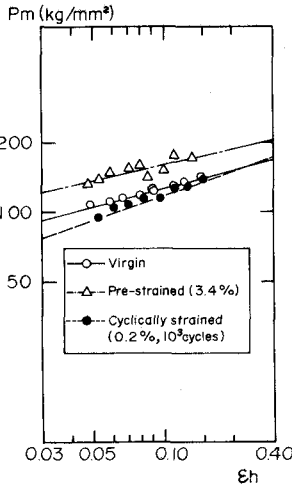


図2. シリニダー杖の $P_m - \epsilon_n$ 線図

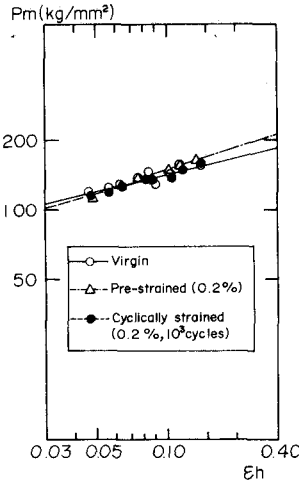


図3. ピストン杖の $P_m - \epsilon_n$ 線図

に対しとも Meyer の法則が成り立つことが判る。

4. あとがき Meyer 硬さの測定値から求まる材料の静的特性(加工硬化指数 n 、引張強度 $\hat{\sigma}_u$ 、静破壊延性 ϵ_f) は歪率(歪)サイクル疲労強度と密接な関係をもつことから、式(13)、式(15)で表わされる関係が成り立つことが確認出来るれば、容易に低サイクル疲労強度が推定することが可能となる。本報では、式(10)で示される $P_m - \epsilon_n$ の関係が確認し得たにすぎないので、今後種々の静的特性との相関の確認を進行するつもりである。

参考文献・引用文献

- 1). D. Tabor: The Hardness of Metals, Oxford at the Clarendon Press (1951)
- 2). 例えば、 堤田 伸吉氏: 鋼材の歪率(歪)サイクル疲労強度の推定に関する研究(材料報・材料編) 日本造船学会誌 126, 127, 128号 (1966~1970)
- 3). A. Nadai: Plasticity, McGraw-Hill, New York (1931).